

## Application of Statistical Methods, Saturation Indices, and the Composite Diagrams in the Groundwater Quality Assessment in the Kerman Plain Aquifer

M. Rezaei<sup>1\*</sup>

### Abstract

The hydrogeochemical characterization of the Kerman plain aquifer, in central Iran, has been studied. Chemical characteristics from 58 deep well samples were used. Physicochemical characteristics and the major elements ( $\text{Na}^+$ ,  $\text{K}^+$ ,  $\text{Ca}^{++}$ ,  $\text{Mg}^{++}$ ,  $\text{Cl}^-$ ,  $\text{SO}_4^{2-}$  and  $\text{HCO}_3^-$ ) were analyzed for these samples. Different methods including composite diagrams, saturation indices, and multivariate statistical methods were employed to assess groundwater quality. The results showed that the main hydrochemical facies of the aquifer representing 73% of the samples are ( $\text{Na}, \text{K}-\text{Cl}, \text{SO}_4$ ). The solubility of Calcite, Dolomite, Gypsum, and Aragonite were assessed in terms of the saturation index indicating supersaturation with respect to Calcite and Dolomite. Clustering analysis showed three distinctive groundwater groups indicating different groundwater residence time and different rock-water interaction history. The results of factor analysis indicated that five factors explain about 96.3% of the total sample variance. The first and most important factor is mainly controlled by Halite dissolution in the Kerman plain. Dissolution of Gypsum is the second most important source of salinity.

**Keywords:** Groundwater, Multivariate analysis, Hydrogeochemistry, Saturation Index.

کاربرد آنالیزهای چند متغیره، انديس‌های اشباع و دياگرام‌های تركيبي در تحليل كيفي آبخوان آبرفتی دشت کرمان

محسن رضايي<sup>1\*</sup>

### چكیده

خصوصيات شيميايي آبخوان آب زيرزميني دشت کرمان مورد مطالعه قرار گرفته و از نتایج آزمایشات فيزيكي و شيميايي مربوط به ۵۸ حلقه چاه عميق استفاده گردیده است. در اين نمونه‌ها خصوصيات فيزيكي و شيميايي و یون‌های اصلی ( $\text{Na}^+$ ,  $\text{K}^+$ ,  $\text{Ca}^{++}$ ,  $\text{Mg}^{++}$ ,  $\text{Cl}^-$ ,  $\text{SO}_4^{2-}$ ,  $\text{HCO}_3^-$ ) مورد سنجش قرار گرفته‌اند. روشهای مختلف شامل دياگرام‌های تركيبي، انديس‌های اشباع و آنالیزهای چند متغیره در ارزیابی پارامترهای كيفي استفاده شده است. نتایج نشان داده‌اند که رخساره هيدروشيميايي غالب (Na, K-Cl, SO<sub>4</sub>) در ۷۳ درصد از نمونه‌ها می‌باشد. انديس اشباع از كلسيت، دولوميت، زيبس و آراگونيت محاسبه و نشان دهنده وضعیت فوق اشباع نسبت به كلسيت و دولوميت می‌باشد. تحليل خوشای، منابع آب را در سه گروه مجزا قرار می‌دهد که منطبق با زمان مانداری آب و ميزان واکنش با مواد آبخوان از هم مجزا می‌شوند. نتایج تحليل عاملی نشان می‌دهد که ۹۶/۳ درصد از تغييرات كيفي آب توسيط ۵ عامل کنترل می‌شود. عامل اول و مهمترین عامل، انحلال هاليت موجود در آبرفت‌ها دشت کرمان است. انحلال زيبس که کماکان در آبخوان اتفاق می‌افتد، در درجه دوم اهمیت قرار دارد.

**كلمات کلیدی:** آب‌زيرزميني، آنالیز چند متغیره، هيدروژئوشيمى، انديس اشباع

تاریخ دریافت مقاله: ۲۹ مرداد ۱۳۸۶

تاریخ پذيرش مقاله: ۱۲ مهر ۱۳۸۸

1- Assistant Prof. Geology department of Tarbiat Moallem University, Tehran, Iran. Email: m\_rezaei@tmu.ac.ir

\*- Corresponding Author

۱- استاديار گروه زمين‌شناسي دانشگاه تربيت معلم تهران، تهران، ايران

\*- نويسنده مسئول

## ۱- مقدمه

هدایت الکتریکی آب به بیش از ۳۰۰۰ میکرومöhوس بر سانتی‌متر رسیده است. شوری بالا می‌تواند به دلیل انحلال رسوبات تبخیری، واکنش‌های آب و رسوب مانند پدیده تبادل کاتیونی، تبخیر از آبهای زیرزمینی و آبهای برگشتی کشاورزی باشد. در این مقاله سعی گردیده از روش‌های مذکور برای بررسی علت کاهش کیفیت آبهای زیرزمینی داشت کرمان استفاده گردد.

## ۲- محدوده مورد مطالعه

### ۲-۱- موقعیت جغرافیایی و آب و هوایی

گسترده مورد مطالعه در غرب و جنوب غرب شهر کرمان، در جنوب شرقی ایران قرار گرفته و در حد فاصل مختصات ۳۰ درجه و ۱۵ دقیقه تا ۳۰ درجه و ۲۲ دقیقه و ۳۰ ثانیه عرض شمالی و ۵۶ درجه و ۵۲ دقیقه و ۳۰ درجه تا ۵۷ درجه طول شرقی واقع گردیده است. این ناحیه دارای آب و هوای گرم و خشک با تفاوت درجه حرارت زیاد در شب و روز می‌باشد. از اصلی ترین ویژگیهای آب و هوایی این منطقه تابستان گرم و سوزان و زمستانهای سرد و خشک می‌باشد. متوسط دما در تابستان ۳۵ و در زمستان ۶ درجه سانتی‌گراد محاسبه گردیده است. متوسط بارندگی سالیانه ۱۶۱ میلی‌متر و بارش بین مقادیر کمینه ۷۹ و بیشینه ۲۴۸ میلی‌متر متغیر می‌باشد.

### ۲-۲- زمین‌شناسی و هیدرروژئولوژی

از نظر زمین‌شناسی محدوده مورد تحقیق شامل قسمتهایی از چهارگوشهای زمین‌شناسی ۱:۱۰۰۰۰۰ کرمان و باغین می‌باشد. شکل ۱ موقعیت زمین‌شناسی محدوده را نشان می‌دهد. آبخوان دشت در رسوبات آبرفتی دوران چهارم تشکیل گردیده است. این رسوبات در دامنه ارتفاعات، دانه درشت بوده و بتدریج رو به نواحی مرکزی دشت، اندازه دانه‌ها کاهش می‌یابد و در مرکز و منتهی‌الیه دشت تبدیل به رس و سیلت می‌گردد. رسوبات رودخانه‌ای در ابتدای می‌باشند و به سمت مرکز دشت، دانه‌بندی آنها ریزتر و درصد رس در آنها افزایش می‌یابد.

بر اساس لوگ‌های زمین‌شناسی و شواهد موجود، آبخوان دشت کرمان، تنها در اعمق ۱۵۰ متر به بعد که لایه‌های درشت‌دانه‌تر وجود دارند، می‌تواند تشکیل شده باشد. این آبخوان در اعمق ۱۵۰ تا ۲۰۰ متری زیر شهر کرمان و در یک لایه درشت دانه از جنس شن، ماسه و قلوه سنگ تشکیل شده است. بر روی این لایه آبدار چندین لایه رسی- سیلتی با نفوذپذیری کم و ضخامت‌های متفاوت و عمده‌اً

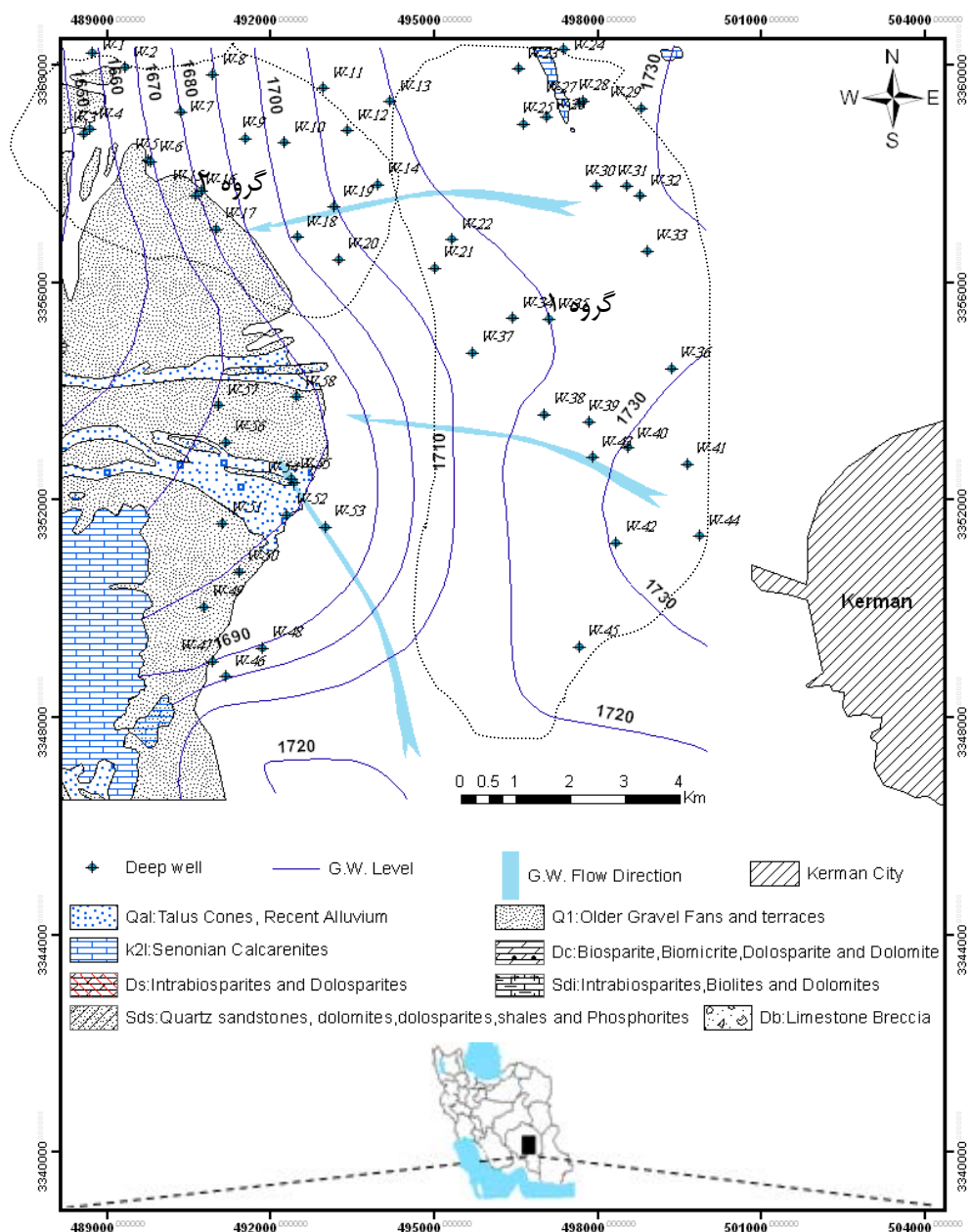
ترکیب شیمیایی اجزاء محلول در آب متأثر از واکنش‌های مختلفی است که در تقابل بین آب و مواد آبخوان اتفاق می‌افتد. بررسی ترکیب شیمیایی هم از جهت شناخت کیفیت آب بسیار مهم است و هم می‌تواند در شناخت واکنش‌های عامل شوری، راهگشا باشد. روش‌های مختلفی برای شناخت منشاء املاح در تحقیقات مختلف مورد استفاده قرار گرفته است. یکی از این روش‌ها استفاده از نمودارهای ترکیبی جهت شناخت منشاء شوری می‌باشد. محققین از نمودارهای ترکیبی مختلفی جهت شناخت فرایندهای ژئوشیمیایی مؤثر بر شوری آبهای زیرزمینی در مناطق مختلف دنیا استفاده نموده‌اند. (Back, 1966, Henry & Schwartz, 1990, Howard and Mullings, 1996, Stober & Bucher, 1999, Marie & Vengush, 2001, Gosselin et al., 2001 and Cloutier, 2004). بررسی مقادیر نمایه‌های اشباع ترکیبات مختلف و ارتباط آنها نیز ابزار مفید دیگری است که برای شناسایی عوامل مؤثر بر هیدروشیمی آبهای زیرزمینی توسط محققین مورد استفاده قرار می‌گیرد (Nordstrom et al., 1989, Jeong, 2001).

روش‌های آماری چند متغیره نیز در سال‌های اخیر برای بررسی ترکیب شیمیایی و اطلاعات کیفی آب استفاده فراوانی داشته‌اند. این روش‌ها ابزار قدرتمندی هستند که در بررسی روابط بین متغیرها، می‌توانند بطور همزمان چند پارامتر را مورد تحلیل قرار دهند (Johnson & Wichern, 1988) در بررسی هیدروشیمی آب زیرزمینی از روش‌های تحلیل عاملی و خوشای استفاده می‌گردد. در روش تحلیل عاملی فرایندهای عمدۀ کنترل کننده شیمی آب، در قالب عامل‌های پیونددهنده مجموعه‌ای از متغیرهای دارای وابستگی بالا بیان می‌شوند (Jeong, 2001). در روش تحلیل خوشای، نمونه‌های آب بر اساس شباهت ترکیب شیمیایی گروه بندی می‌شوند (Beatriz et al., 1998). محققین از روش‌های آماری چندمتغیره در بررسی و تحلیل کیفی و مطالعه هیدروشیمی آبهای زیرزمینی در مناطق مختلف جهان استفاده نمودند (Beatriz et al., 1998, Dawdy & Feth, 1967, Hitchen et al., 1971, Dalton & Upchurch, 1978, Usunoff & Guzman, 1989, Subbarao et al., 1996, Reghunath et al., 2002 and Liu et al., 2003).

آبخوان دشت کرمان از لحاظ کیفیت آب زیرزمینی دارای شرایط ویژه‌ای است. از آنجایی که دشت کرمان تأمین کننده آب مورد نیاز بخش کشاورزی می‌باشد، حفظ و حراست از منابع آبی این دشت از اهمیت ویژه‌ای برخوردار است. در بعضی از بخش‌های این دشت،

می‌دهد که رقوم منحنی‌های تراز آب زیرزمینی در دشت کرمان بین ۱۷۳۰ و ۱۶۵۰ متر متغیر می‌باشد. بررسی روند منحنی‌ها و جهت جریان آب زیرزمینی مؤید این مطلب است که آبهای زیرزمینی از نواحی جنوبی و شرقی به سمت نواحی غرب و شمال‌غرب در حرکت می‌باشند.

در غرب و جنوب‌غرب و شمال‌غرب و بخش مرکزی تشکیل شده‌اند و سبب کاهش نفوذپذیری رسوبات در این مناطق شده‌اند. به سمت شرق منطقه به دلیل تعییر رخساره، این لایه‌ها، درشت‌دانه‌تر شده و نفوذپذیری آنها افزایش می‌باید و در بخش جنوب غربی عمدتاً رخساره‌های تبخیری وجود دارند که به سمت شرق به رخساره‌های آهکی تبدیل می‌گردند. نقشه تراز آب زیرزمینی (شکل ۱) نشان



شکل ۱- موقعیت زمین شناسی، تراز آب زیرزمینی و جهت جریان آب زیرزمینی در دشت کرمان

### ۳- مواد و روش‌ها

(شکل ۲). از نمونه‌های آنالیز شده ۷۳ درصد تیپ کلروره- $(Na, K-Cl, SO_4)$  و ۲۷ درصد تیپ بیکربناته دارند. اولویت کاتیونی در هر دو تیپ با کاتیون سدیم می‌باشد. تیپ بیکربناته عمدتاً در محلهای نواحی شرق و تیپ کلروره در نواحی شمالغرب چهارگوش مطالعاتی واقع شده‌اند. این تعییر تیپ آب با جهت جریان آب زیرزمینی همخوانی دارد و در جهت تکامل آب، از تیپ بیکربناته به تیپ کلروره تعییر می‌نماید. روند تکامل و تعییر یون‌ها در شکل ۲ با فلش مشخص گردیده است. در جهت جریان، یون‌های کلسیم، منیزیم و بیکربنات منابع آب کاهش می‌یابد و بر میزان یون‌های کلر و سدیم آنها افزوده می‌گردد.

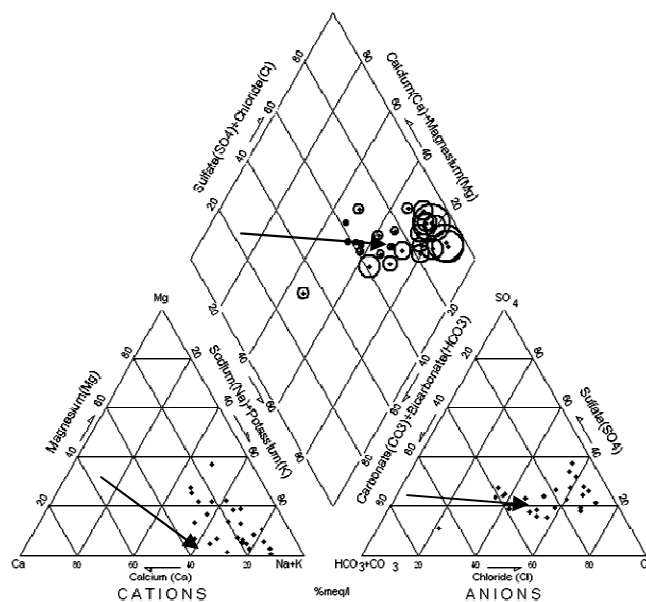
#### ۴- دیاگرام‌های ترکیبی

ترکیب شیمیایی منابع آب دشت کرمان در نمودارهای ترکیبی مختلفی رسم گردیده است. شکل ۳ نمودار دو متغیره غلظت کلر را در مقابل غلظت یون‌های کلسیم، منیزیم، سدیم، بیکربنات، سولفات، پتانسیم و کل یون‌های محلول (TDI) نشان داده است. علت انتخاب غلظت کلر بعنوان یک محور ثابت در رسم گراف‌ها، پایدار بودن پتانسیم و عدم شرکت این یون در واکنش‌های شیمیایی مثل تبادل کاتیونی و رسوب‌گذاری می‌باشد. غلظت اکسی والانی سولفات و کلسیم هم نسبت به هم رسم گردیده است.

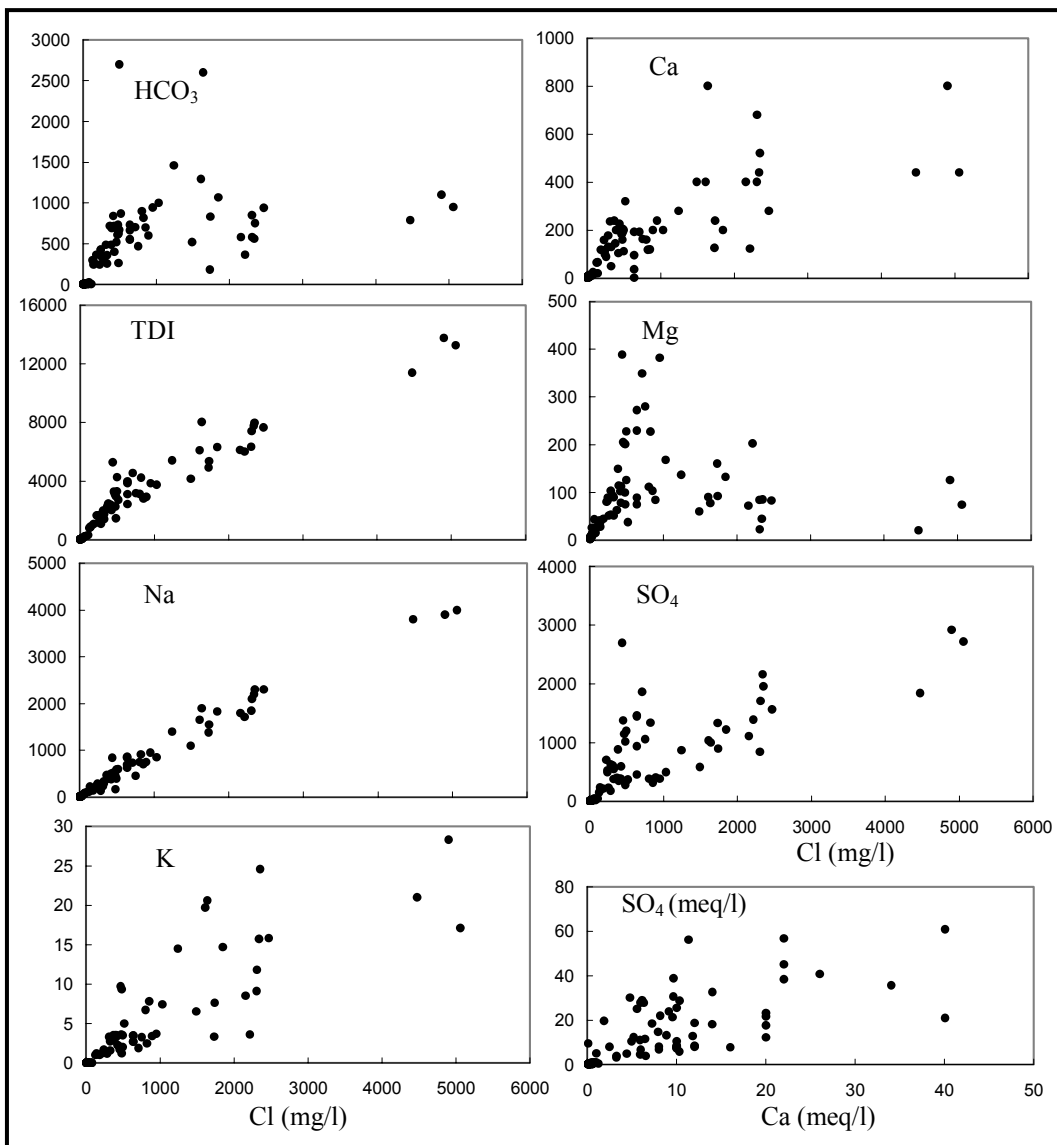
به منظور بررسی روندهای تکاملی آب زیرزمینی و تشخیص فرایندهایی که آبهای زیرزمینی را تحت تاثیر قرار می‌دهند، از نتایج شیمیایی مربوط به ۵۸ حلقه چاه آبرفتی عمیق استفاده شد. در شکل ۱، موقعیت این چاهها نشان داده شده است. در بررسی‌ها، از رفتار شیمیایی عناصر اصلی آب و نسبت آنها به یکدیگر استفاده گردیده است. ابتدا تیپ منابع آب در نمودار مثلثی تعیین گردید. ترکیب شیمیایی نمونه‌ها در دیاگرام‌های ترکیبی مختلفی مورد تجزیه و تحلیل قرار گرفت. اندیس اشاع نمونه‌های آب از ترکیبات مختلفی محاسبه و تفسیر گردید. در ادامه روش تحلیل خوشای برای گروه‌بندی منابع آب دشت، مورد استفاده قرار گرفت. این تحلیل با استفاده از روش‌های R-Mode و Q-Mode صورت پذیرفت. در حالت اول، روابط بین متغیرها و در حالت دوم روابط بین مشاهدات مورد بررسی قرار گرفتند. و در نهایت برای شناسایی عوامل حاکم بر تعییرات کیفیت آب زیرزمینی و روابط بین متغیرها از روش تحلیل عاملی استفاده گردید.

#### ۴- بحث در نتایج

منابع آب دشت کرمان عمدتاً شور می‌باشند. هدایت الکتریکی منابع آب بین مقادیر کمینه ۳۰۰ و بیشینه ۳۲۰۰ میکرومöhوس بر سانتی‌متر در تعییر می‌باشد. نمونه‌های آب در دو تیپ قرار می‌گیرند



شکل ۲- نمودار مثلثی منابع آب دشت کرمان



شکل ۳- دیاگرام‌های ترکیبی متغیرهای شیمیائی آب‌های زیرزمینی (غلظت یون‌ها بر حسب mg/l)

موضوع نشان‌دهنده نقش اتحال ژپس در تغییر کیفیت آب می‌باشد (Freeze and Cherry, 1979).

غلظت TDI با افزایش کلر بصورت خطی افزایش می‌یابد. و این بیانگر تأثیر اتحال هالیت در تعیین غلظت بالا و شوری نمونه‌های آب می‌باشد. هر چند اتحال ژپس هم در این نمونه‌ها به صورت اولیه تأثیرگذار بوده است. غلظت یون منیزیم با افزایش کلر کاهش یافته است. از طرفی نسبت یونی  $Mg^{++}/(Ca^{++}+Mg^{++})$  در اکثر نمونه‌ها کمتر از  $1/5$  است به همین دلیل منشاء منیزیم نمی‌تواند ناشی از هوازدگی دولومیت باشد. غلظت یون‌های کلر و سدیم تقریباً

نتایج در شکل ۳ نشان می‌دهند که غلظت بیکربنات با افزایش کلر، در ابتدا کمی افزایش و سپس کاهش داشته است و این امر به این دلیل است که نمونه‌های با شوری کم و کلر پایین که عمدتاً مریبوط به مناطق تغذیه می‌باشند، تحت تاثیر اتحال کربنات‌ها می‌باشند. اما با افزایش شوری و افزایش قدرت یونی محلول، رسویگذاری کربنات‌ها و لذا کاهش بیکربنات رخ می‌دهد. از طرفی با افزایش غلظت کلر، یون کلسیم افزایش می‌یابد و رابطه خطی بین غلظت یون‌های سولفات و کلسیم نیز وجود دارد که نشان‌دهنده فرایند اتحال ژپس در آبخوان می‌باشد. نسبت یونی  $HCO_3^-/\text{Sum.Anions}$  کمتر از  $1/8$  و مقدار سولفات بالاست، این

انحلال هالیت ترکیب شیمیایی آنها، می‌توانند تحت تأثیر تبادل کاتیونی یا انحلال یک کانی سدیم دار دیگر هم قرار گرفته باشند. در شکل ۴-ب نمودار دو متغیره  $\text{Ca}+\text{Mg}$  در مقابل  $\text{HCO}_3+\text{SO}_4$  در مقابله  $\text{Ca}+\text{Mg}$  نشان داده شده است. خط ۱:۱ نشان دهنده فرایندهای انحلال کلسیت، دولومیت و ژپس می‌باشد. نمونه‌هایی که در امتداد خط در مقادیر کمتر از  $5\text{meq/l}$  واقع شده باشند، نشان دهنده انحلال کلسیت و دولومیت می‌باشند. اکثر نمونه‌های دشت کرمان زیر خط ۱:۱ و در بیشتر از  $10\text{meq/l}$  واقع شده‌اند که نشان دهنده تأثیر انحلال ژپس همزمان با پدیده تبادل کاتیونی در ترکیب شیمیایی  $\text{Ca}+\text{Mg}$ - $\text{Na}-\text{Cl}$  در مقابل  $\text{Na}-\text{Cl}$  داشتند. شکل ۴-ج نمودار  $\text{Ca}+\text{Mg}-\text{HCO}_3-\text{SO}_4$  در مقابل  $\text{Na}-\text{Cl}$  رخداد فرایندهای تبادل یونی را نشان داده است. در این نمودار نمونه‌هایی که نزدیک به مقدار صفر و روی محور افقی قرار دارند، تحت تأثیر تبادل یونی واقع نشده‌اند. علاوه بر آن اگر انحلال کانیهای کلسیت، دولومیت و ژپس به طور سازگار روی دهد و تبادل یونی صورت نگیرد، در آن صورت مقدار  $\text{Ca}+\text{Mg}-\text{HCO}_3-\text{SO}_4$  نیز نزدیک به صفر خواهد شد. نمونه‌هایی که تحت تأثیر تبادل یونی قرار گرفته‌اند، در طول خط شیب -۱ قرار می‌گیرند مشاهده می‌گردد. در شکل ۴-د، نسبت  $(\text{Na}-\text{K})/(\text{Na}-\text{K}+\text{Ca})$  با افزایش TDS افزایش یافته و به سمت ۱ میل می‌نماید و این بیانگر تأثیر تبادل کاتیونی می‌باشد.

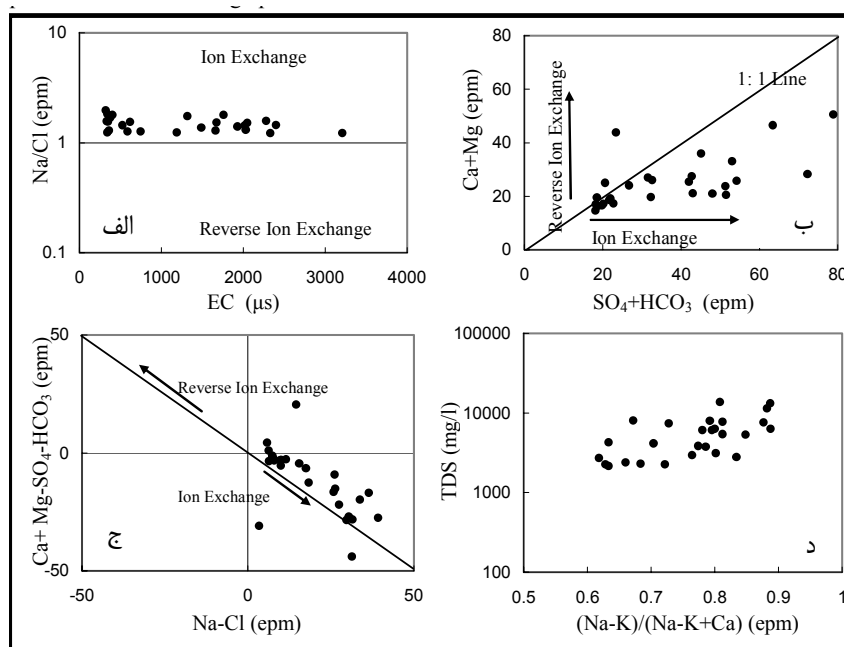
برابری نشان می‌دهند و این بیانگر منشاء یکسان و انحلال هالیت در آبخوان می‌باشد. به عبارتی ترکیب شیمیایی آب در آبخوان در نهایت از انحلال هالیت متأثر می‌گردد.

سکانس تکامل شیمیایی آب زیرزمینی دشت کرمان در ارتباط کامل با انحلال هالیت مشخص می‌گردد، اما انحلال سولفات نیز در مرحله اتفاق افتاده است. به خاطر انحلال سریع هالیت مرحله سولفاته مشاهده نمی‌شود و آب زیرزمینی از مرحله اول تکامل شیمیایی (بیکربناته) به کلروره تغییر می‌نماید.

رابطه بین هدایت الکتریکی و مجموع املاح محلول که از ویژگی‌های شیمیایی آبخوان می‌باشد، برای آبخوان دشت کرمان به صورت زیر بدست آمده است. در واقع این معادله بهترین خط شبیه برآش داده شده به نمودار هدایت الکتریکی اندازه گیری شده در مقابل کل املاح محلول می‌باشد:

$$(1) \quad \text{TDS} (\text{mg/l}) = 3.52 * \text{EC} (\mu\text{mhos/Cm}) + 1257$$

جهت نمایش فرایندهای تبادل یونی و تبادل یونی معکوس در آبخوان دشت کرمان، چهار نمودار ترکیبی با استفاده از توابع بین متشکله‌های شیمیایی متأثر از فرایندهای تبادل یونی تهیه گردیده‌اند. در شکل ۴-الف، نمودار  $\text{Na}/\text{Cl}$  در مقابل EC برای نمونه‌های آب زیرزمینی دشت کرمان نشان داده شده است. نمونه‌هایی که در بالای خط  $\text{Na}/\text{Cl}=1$  واقع شده‌اند، منشاء دوگانه دارند یعنی علاوه بر



شکل ۴- نمودارهای ترکیبی چند متغیره غلظت یون‌ها

#### ۴-۲- نمایه‌های اشباع

باعث رسوبگذاری دولومیت و لذا کاهش میزان منیزیم با افزایش شوری می‌گردد. روند کاهش منیزیم با افزایش شوری در نمودار ترکیبی منیزیم با کلر (شکل ۳) نشان داده شده است.

بررسی اندیس اشباع نسبت به ترکیبات مختلف (شکل ۵) نشان می‌دهد که قریب به اتفاق منابع آب در مقادیر Cl بیشتر از ۱۵۰۰ میلی‌گرم در لیتر نسبت به کلسیت اشباع و فوق اشباع می‌باشد. با افزایش میزان کلر و شوری، خروج منیزیم با فرایند تبادل کاتیونی باعث می‌شود که در تعدادی از نمونه‌هایی با شوری بالا، اشباع از دولومیت مشاهده گردد.

#### ۴-۳- تحلیل خوشهای

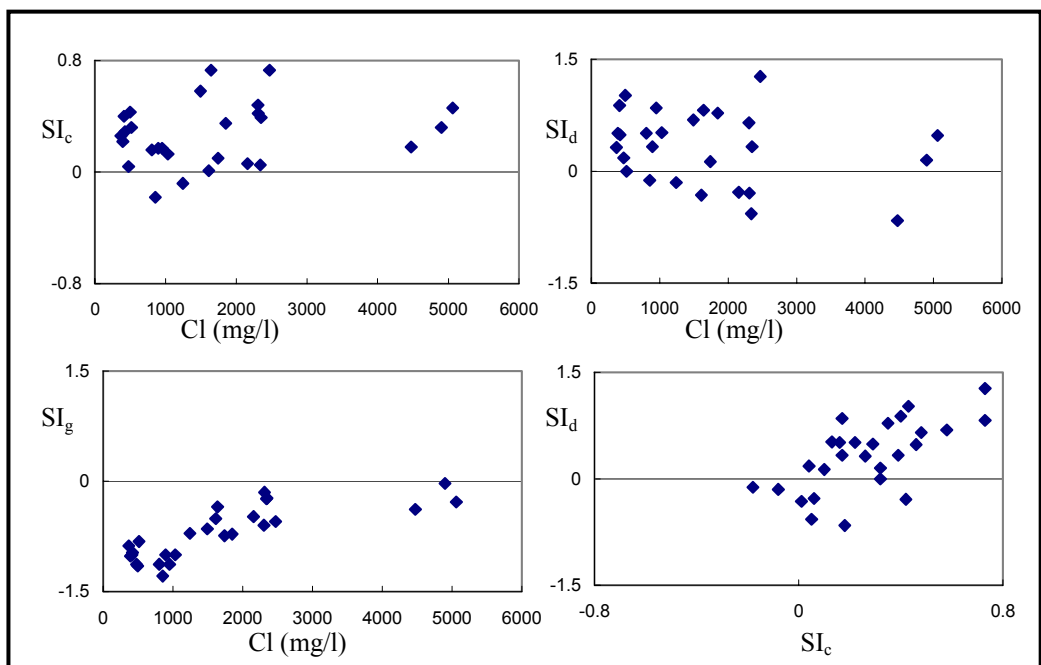
نمودار حاصل از تحلیل خوشهای متغیرهای کیفیت، شامل pH، EC و یونهای اصلی در شکل ۶ ارائه گردیده است. کلسیم، منیزیم، پتاسیم و pH در یک گروه، کلر و سدیم در یک گروه، سولفات و EC در گروه دیگر و بیکربنات در گروه منفردی قرار می‌گیرد. تحلیل خوشهای نشان می‌دهد که هدایت الکتریکی بیشتر متأثر از یون سولفات می‌باشد و ارتباط بسیار نزدیکی با غلظت یون‌های سدیم و کلر دارد. در سطحی بالاتر، بیکربنات به گروه کلسیم و منیزیم نزدیکی بیشتری نشان داده است. همچنان که انتظار می‌رود، بین pH و قلیائیت نیز رابطه نزدیکی برقرار می‌باشد.

نمایه‌های اشباع نسبت به کلسیت، دولومیت و ژپس در نمونه‌های آب زیرزمینی دشت کرمان با استفاده از نتایج مدل‌سازی با کد کامپیوتوی PHREEQC محاسبه گردیده و در جدول ۱ ارائه گردیده‌اند. نتایج نشان می‌دهند که تمام نمونه‌های آنالیز شده نسبت به ژپس تحت اشباع می‌باشند و می‌توانند کماکان ژپس را در خود حل نمایند. به جز در چند نمونه، در بقیه نمونه‌های فوق، اشباع نسبت به کلسیت و دولومیت وجود دارد. افزایش غلظت یون‌های کلسیم، منیزیم، کربنات و بیکربنات از منشاء‌های غیر از انحلال کلسیت و دولومیت مانند انحلال سریع ژپس و اندیزیت، باعث فوق اشباع نمونه‌های آب زیرزمینی نسبت به کلسیت و دولومیت شده است.

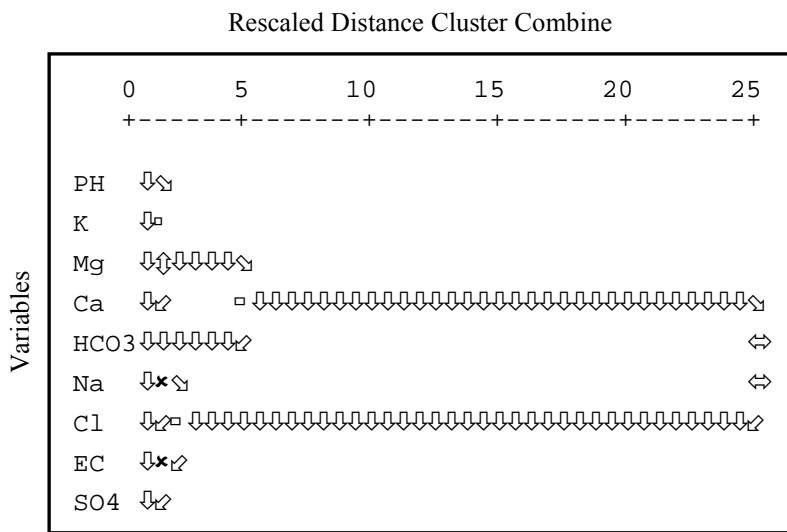
تفسیر نمایه‌های اشباع، جهت بررسی عوامل زمین‌شناسی کنترل‌کننده ترکیب شیمیایی آب زیرزمینی دشت کرمان با استفاده از نمودارهای دو متغیره صورت گرفته است. از آنجا که اکثر نمونه‌های آب زیرزمینی دشت کرمان تیپ کلروره داشته، یون کلر پایدار می‌باشد و شوری آب زیرزمینی دشت کرمان نیز عمدتاً بر اثر افزایش یون کلر (در اثر انحلال هالیت) است، بنابراین نمودارهای دو متغیره نمایه‌های اشباع کلسیت، دولومیت و ژپس در مقابل غلظت کلر تهیه شده‌اند (شکل ۵). ورود یون‌های منیزیم و کلسیم به واکنش‌های انحلالی مختلف باعث ایجاد اثر یون مشترک می‌گردد. این موضوع

جدول ۱- اندیس اشباع آب نسبت به کلسیت، دولومیت و ژپس

	SI <sub>c</sub>	SI <sub>d</sub>	SI <sub>g</sub>		SI <sub>c</sub>	SI <sub>d</sub>	SI <sub>g</sub>
W1	.+/01	-0/32	-0/51	W21	./58	./69	-0/65
W3	./73	./82	-0/35	W23	./26	./32	./88
W5	-0/08	-0/15	-0/21	W25	./43	1/02	-1/15
W7	./46	./48	-./28	W27	./4	./88	-1/0
W8	./39	./33	-0/23	W29	./17	./33	-1/0
W9	./18	-0/66	-0/38	W31	./22	./51	-1/02
W10	./05	-0/57	-0/24	W32	./29	./49	-0/97
W11	./42	-0/29	-0/15	W33	./04	./18	-1/13
W12	./06	-0/28	-0/48	W36	./32	./0	-0/82
W13	./48	./65	-0/6	W40	./17	./85	-1/13
W14	./1	./13	-0/74	W43	./16	./51	-1/13
W15	./35	./78	-0/72	W44	-0/18	-0/12	-1/29
W17	./73	1/27	-0/55	W51	./13	./52	-1/0



شکل ۵- دیاگرامهای ترکیبی اندیس اشباع کلسیت، ژپس و دولومیت نسبت به یون کلر



شکل ۶- نمودار تحلیل خوشهای متغیرهای کیفیت آب زیرزمینی دشت کرمان

گروه ۱: نمونههایی که در خوشه شماره ۱ قرار گرفته‌اند، شامل منابع آبی می‌گردند که در بالادست مسیر جریان آب زیرزمینی دشت کرمان واقع شده‌اند. نمونه‌های این گروه چاههای عمیق ۲۳، ۲۱، ۲۳، ۲۷، ۲۹، ۳۱، ۳۲، ۳۳، ۳۶، ۴۰، ۴۳ و ۴۴ می‌باشند. شکل ۱ نشان می‌دهد که نمونه‌های این گروه در منطقه تغذیه قرار دارند. هدایت الکتریکی اعضاء این گروه از ۸۰۰ میکرومöhوس بر سانتی‌متر کمتر می‌باشد.

شکل ۷ نتیجه تحلیل خوشهای بر اساس غلظت یون‌های اصلی، pH و EC را نشان داده است. مطابق شکل، نمونه‌های آب زیرزمینی دشت کرمان در ۳ گروه متفاوت قرار می‌گیرند. گروههای دوم و سوم تشابه بیشتری نشان می‌دهند و در سطح بالاتری یک دسته می‌شوند. بیشتر نمونه‌های آب در گروه شماره ۱ قرار می‌گیرند. و بعد از آن گروه ۳ تعداد بیشتری را شامل می‌شود. نحوه توزیع مکانی خوشه‌های به دست آمده در شکل ۱ نشان می‌دهد که خوشه‌های اصلی ۱ و ۳ به طور مشخصی از یکدیگر تفکیک شده‌اند. هر سه گروه در زیر به اختصار توضیح داده شده‌اند:

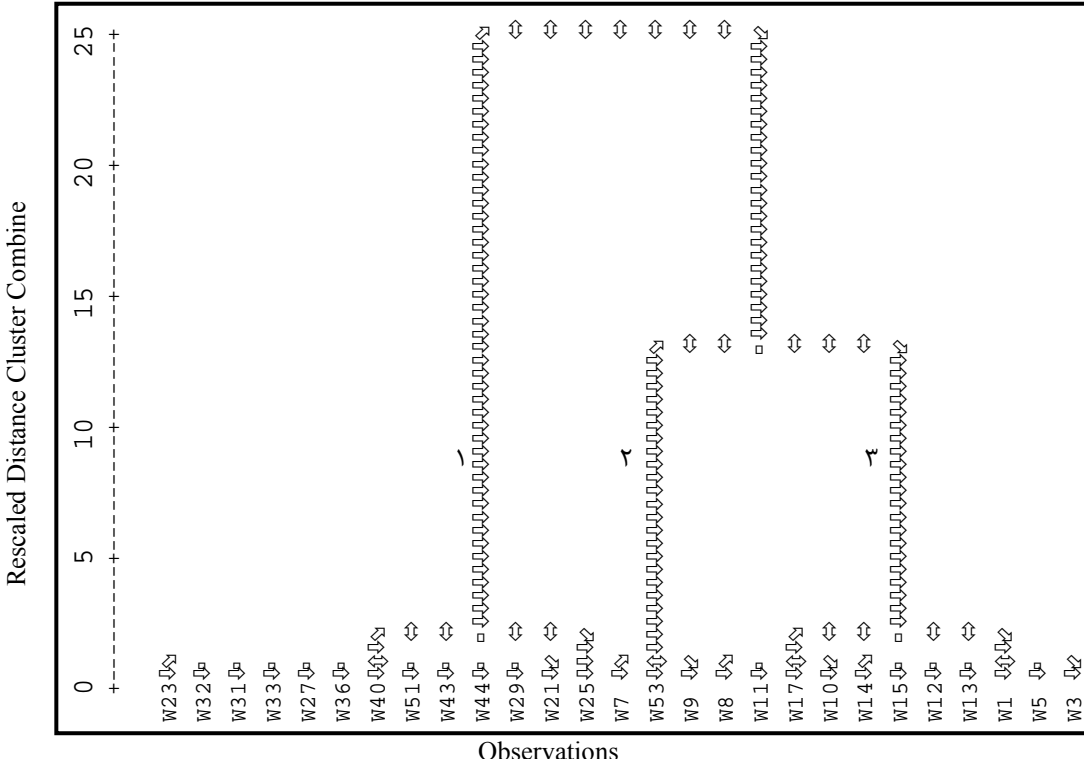
شماره ۲ ارائه شده است. عامل اول با کلرید و به میزان کمتری سولفات در ارتباط می‌باشد. این عامل شامل انحلال کانیهای هالیت در مرتبه اول و ژیپس در مرتبه دوم می‌باشد و مسئول ۵۳/۷ درصد تغییرات کیفیت آب زیرزمینی است. تبخیریها از جمله هالیت و ژیپس در رسوبات دشت کرمان وجود دارد. ۱۲/۱ درصد از تغییرات ترکیب شیمیایی آب زیرزمینی دشت توسط عامل دوم کنترل می‌گردد. در این عامل بیکربنات بالاترین بار عاملی را نشان می‌دهد که نشان‌دهنده تغذیه ناشی از بارندگی در دشت می‌باشد (Lawrence & Upchurch, 1982). انحلال کربناتها، غلظت بیکربنات، کلسیم و pH منابع آب دشت را کنترل می‌نماید. حدود ۳۵ درصد تغییرات کیفیت آب زیرزمینی دشت کرمان نیز توسط ۳ عامل باقیمانده کنترل می‌گردد. این عوامل مرتبط با غلظت بیکربنات، کلسیم و منیزیم می‌باشند. این فاکتورها می‌توانند به عوامل گوناگونی مرتبط باشند. براساس اطلاعات موجود شاید نتوان ماهیت مشخصی برای آنها معین نمود، اما همبستگی مشخصی بین کلسیم و منیزیم و این فاکتورها وجود دارد و این امر می‌تواند معرف پدیده تبادل کاتیونی باشد. تأثیر این عامل در بخش‌های قبلی مقاله اشاره شده است.

گروه ۲: نمونه‌های شماره ۷، ۹ و ۵۳ که شورترین منابع می‌باشند و در خروجی دشت قرار دارند در این گروه قرار گرفته‌اند. در گروه دوم هدایت الکتریکی از همه منابع بیشتر و بالاتر از ۲۰۰۰ میکرومöhوس بر سانتی‌متر می‌باشد. با کمی اغماض می‌توان این دسته را از گروه ۳ دانست.

گروه ۳: در خوشة شماره ۳ نمونه‌هایی قرار دارند که در ادامه مسیر جریان به سمت خروجی دشت واقع شده‌اند. نمونه‌های شماره ۱، ۳، ۵، ۸، ۱۱، ۱۲، ۱۳، ۱۴، ۱۵، و ۱۷ در این گروه قرار دارند. این نمونه‌ها به علت زمان ماندگاری بیشتر و واکنش بیشتر با مواد آبخوان، هدایت الکتریکی بیشتری (بیشتر از ۱۲۰۰ میکرومöhوس بر سانتی‌متر) دارند.

#### ۴-۴- تحلیل عاملی

تحلیل عاملی بر اساس پارامترهای کیفیت، شامل غلظت یون‌های اصلی، هدایت الکتریکی و pH نشان می‌دهد که درصد ۹۶/۳ تغییرات کیفیت آب زیرزمینی دشت کرمان توسط ۵ عامل کنترل می‌گردد. بار ۵ عامل اول نسبت به پارامترهای کیفیت در جدول



شکل ۷- نمودار تحلیل خوشه‌ای نمونه‌های آب زیرزمینی دشت کرمان

جدول ۲- مقدار بار عامل‌ها بر اساس چرخش Varimax

عامل‌ها					متغیرها
5	4	3	2	1	
-.116	.036	-.063	-.127	.221	EC
<b>.308</b>	.031	<b>.256</b>	<b>1.082</b>	-.021	pH
<b>1.620</b>	<b>.102</b>	-.081	<b>.161</b>	-.228	Ca <sup>++</sup>
.201	<b>1.050</b>	-.096	.033	.066	Mg <sup>++</sup>
-.301	.019	.037	.046	<b>.277</b>	Na <sup>+</sup>
-.190	-.013	.101	-.135	<b>.217</b>	K <sup>+</sup>
-.166	-.090	<b>1.099</b>	<b>.267</b>	.015	HCO <sub>3</sub> <sup>-</sup>
-.061	.024	-.029	.081	<b>.219</b>	SO <sub>4</sub> <sup>-</sup>
-.351	.025	.000	.045	<b>.286</b>	Cl <sup>-</sup>
7.4	11.5	11.6	12.1	53.7	درصد واریانس هر عامل
96.3	88.9	77.4	65.8	53.7	تجمعی درصد واریانس

باعث شده است که در تعدادی از نمونه‌های با شوری بالا، اشیاع از دلومیت مشاهده گردد.

نتیجه تحلیل عاملی نشان می‌دهد که ۹۶/۳ درصد تغییرات کیفیت آب زیرزمینی دشت کرمان توسط ۵ عامل کنترل می‌گردد.

عامل اول شامل انحلال کانیهای هالیت در مرتبه اول و Zn در مرتبه دوم و مسئول ۵۳/۷ درصد تغییرات کیفیت آب زیرزمینی است. ۱۲/۱ درصد از تغییرات کیفی آب به عامل دوم که در ارتباط با بیکربنات می‌باشد و از طریق انحلال کربنات‌ها غلظت بیکربنات، کلسیم و pH منابع آب دشت را کنترل می‌نماید، مربوط می‌گردد. حدود ۳۵ درصد تغییرات کیفیت آب زیرزمینی دشت کرمان نیز توسط ۳ عامل باقیمانده کنترل می‌گردد که از ماهیت پیروزی این عوامل فقط می‌توان به پدیده تبادل کاتیونی اشاره کرد.

## ۶- مراجع

Back, W. (1966), Hydrochemical facies and ground-water flow patterns in northern part of Atlantic Coastal Plain. U.S. Geological Survey Professional Paper 498-A

Beatriz, A.H., Vega, M., Barrado, E., Pardo, R. and Fernandez, L. (1998), A case study of hydrochemical characteristics of an alluvium aquifer influenced by human activities, Air, water and Soil pollution Bulletin.

Cloutier, V. (2004), Origin and geochemical evolution of groundwater in the Paleozoic Basses-Laurentides sedimentary rock aquifer system, St. Lawrence Lowlands, Québec, Canada. PhD Thesis, INRS-

## ۵- نتیجه گیری

تحلیل خوش‌های براساس تشابه نمونه‌های آب زیرزمینی در دشت کرمان، سه گروه متمایز را معرفی می‌کند. این گروه‌ها از نظر زمان ماند آنها در آبخوان و تغییر ترکیب شیمیایی آب زیرزمینی به سمت خروجی دشت از یکدیگر متفاوت می‌باشند. گروه اول با شوری کمتر، منابع منطقه تقدیه را شامل می‌شود. گروههای دوم و سوم که نزدیکی بیشتری به هم دارند، به سمت منطقه خروجی دشت قرار می‌گیرند و بیشتر تحت تأثیر محیط آبخوان آبرفتی هستند. شوری منابع مشمول این دو گروه زیاد و در این بین منابع گروه دوم شوری بیشتری دارند.

ترکیب شیمیایی منابع آب در محدوده (Na,K-Cl,SO<sub>4</sub>) واقع گردیده است. در جهت جریان آب زیرزمینی، یون‌های کلسیم، منیزیم و بیکربنات، منابع آب کم و بر میزان یون‌های کلر و سدیم افزوده می‌گردد. بررسی نمودارهای ترکیبی اجزاء محلول مختلف آب نشان می‌دهد که سکانس تکامل شیمیایی آب زیرزمینی دشت کرمان در ارتباط کامل با انحلال هالیت مشخص می‌گردد، اما انحلال سولفات نیز در مراحل اتفاق افتاده است. به دلیل انحلال سریع هالیت، مرحله سولفاته مشاهده نمی‌شود و آب زیرزمینی از مرحله اول تکامل شیمیایی (بیکربنات) به کلروره تغییر می‌نماید. نمودارهای ترکیبی چند متغیره نیز وقوع پدیده تبادل کاتیونی را به مقایسه وسیع نشان می‌دهند. بررسی اندیس اشیاع نسبت به ترکیبات مختلف نشان می‌دهد که قریب به اتفاق منابع آب در مقادیر Cl بیشتر از ۱۵۰۰ میلی‌گرم در لیتر نسبت به کلسیت اشیاع و فوق اشیاع می‌باشند. با افزایش میزان کلر و شوری، خروج منیزیم با فرایند تبادل کاتیونی

- Lawrence, F.W. and Upchurch, S.B. (1982), Identification of water recharge areas using geochemical factor analysis, *Groundwater*, 20(6), pp. 680-687.
- Liu, C.W., Lin, K.H. and Kuo, Y.M. (2003), Application of factor analysis in the assessment of groundwater quality in a blackfoot disease area in Taiwan, *The Science of Total Environment*, V.313, pp.77-89.
- Marie, A. and Vengosh, A. (2001), Sources of salinity in groundwater from Jericho area, Jordan Valley, *Groundwater*, 39(2), pp. 240-248.
- Nordstrom, D. K., Ball, J.W., Donahoe, R.J. and Whittemore, D. (1989), Groundwater chemistry and water-rock interaction at Stripa. *Geochem. Cosmochim. Acta*. 53, pp. 1727-1740.
- Parkhurst, D.L., Appelo, C.A.J. (1999), User's guide to PHREEQC (version 2)—A computer program for speciation, batch-reaction, one-dimensional transport, and inverse geochemical calculations. U.S. Geological Survey, Water-Resources Investigations Report 99-4259
- Piper, A.M. (1944), A graphic procedure in the geochemical interpretation of water-analyses. American Geophysical Union. Papers, Hydrology, pp. 914–923
- Reghunath, R., Murthy, T.R.S. and Raghvan, B.R. (2002), The utility of multivariate statistical techniques in hydrogeochemical studies: an example from Karnataka, India, *Water Research*, Vol. 36., pp. 2437-2442.
- Stober, I. and Bucher, K. (1999), Deep groundwater in the crystalline basement of the Balck Forest region, *Applied Geochemistry*, 14, pp. 237-254.
- Subbarao, C., Subbarao, N.V. and Chandu, S.N. (1996), Characterization of groundwater contamination using factor analysis, *Environmental Geology*, V.28 No. 4, pp. 175-180.
- Usunoff, E.J. and Guzman-Guzman, A. (1989), Multivariate analysis in hydrochemistry: An example of the use factor and correspondence analysis. *Groundwater*, 27, pp. 27-34.
- Eau, Terre & Environnement, Québec, Canada [in French and English]
- Dalton, M.G. and Upchurch, S.B. (1978), Interpretation of hydrochemical facies by factor analysis, *Groundwater*, V. 16, pp. 228-233
- Dawdy, D.R., Feth, J.H. (1967), Application of factor analysis in steady of chemistry of groundwater quality, Mojaveriver Vally, California, *Water Resour. Res.*3(2), pp. 505-510.
- Freeze, R.A. and Cherry, J.A. (1979), *Groundwater*, Prentice-Hall, Inc., Englewood Cliffs, New Jersey
- Gosselin, D.C., Harvey, F.E. and Frost, C.D. (2001), Geochemical evolution of ground water in the Great Plains aquifer of Nebraska: Implications for the management of a regional aquifer system. *GroundWater* 39(1): pp. 98–108.
- Hem, J.D. (1985), Study and interpretation of the chemical characteristics of natural water. U.S. Geological Survey Water-Supply Paper 2254, Third Edition.
- Hendry, M.J. and Schwartz, F.W. (1990), The chemical evolution of ground water in the Milk River Aquifer, Canada. *Ground Water* 28(2): pp. 253–261.
- Hitchon, B., Billing, G.K. and Kolvan, J.E. (1971), Geochemistry and origin of formation waters in the western Canada sedimentary basin, III. Factor controlling chemical composition, *Geochem. Cosmochim. Acta*, 35, pp. 567-598.
- Jankowski, J., Shekarforosh, S. and Acworth, R.I. (1998), Reverse ion exchange in a deeply weathered prophyritic dacit fractured aquifer system, Yass, New South Wales, Australia, In Arehord G.B. & Hulston R. (eds.) Proceeding of 9<sup>th</sup> International Symposium on Water Rock Interaction, Taupo, New Zealand, Rotterdam: Balkema, pp. 243-246.
- Jeong, C. (2001), Mineral-water interaction and hydrogeochemistry in the Samkwang mine area, Korea. *Geochemical Journal*, Vol. 35, pp. 1-12
- Ken W. F. Howard. and Mullings, E. (1996), Hydrochemical Analysis of Ground-Water Flow and Saline Incursion in the Clarendon Basin, Jamaica, *Groundwater*, 34(6), pp. 801-810.